Interazioni Elettrodeboli

prof. Francesco Ragusa Università di Milano

Lezione n. 11

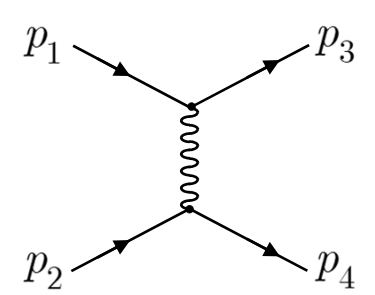
14.11.2022

Sezione d'urto $e^-\mu^- \to e^-\mu^-$ Propagatore e invarianza di gauge Teoria di Fermi del decadimento β Cinematica e spazio delle fasi

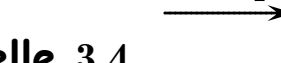
anno accademico 2022-2023

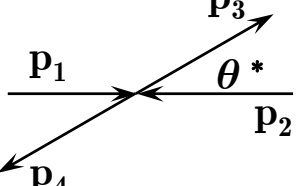
Cinematica reazione $1+2 \rightarrow 3+4$

• Prima di iniziare il calcolo del flusso e dello spazio delle fasi discutiamo alcuni aspetti della cinematica della reazione



- Analizziamo lo stato finale
 - Abbiamo 2 particelle per un totale di 8 variabili cinematiche
 - La relazione $E^2=m^2+{
 m p}^2$ riduce le variabili a 6
 - Inoltre la conservazione dell'energia-impulso totali (4 relazioni) riduce ulteriormente a 2 le variabili indipendenti
- ullet In assenza di polarizzazione nello stato iniziale una rotazione di un angolo ϕ intorno all'asse definito dal fascio è inessenziale
- Pertanto, per descrivere lo stato finale, è sufficiente una sola variabile
 - Sono possibili diverse scelte; ad esempio
 - Angolo di deflessione θ





- Energia E di una delle due particelle 3,4
- Variabile di Mandelstam t (relativisticamente invariante)

$$t = (p_3 - p_1)^2$$

$$t = (p_3 - p_1)^2$$
 $t = m^2 + m^2 - 2E_1E_3 + 2|\mathbf{p}_1||\mathbf{p}_3|\cos\theta$

• Ricordiamo l'altra variabile di Mandelstam

$$s = (p_1 + p_2)^2 = (p_3 + p_4)^2$$

Lo spazio delle fasi 1+2 ightarrow 3+4

• Calcoliamo lo spazio delle fasi per il processo $1+2 o 3+4(p_1+p_2 o p_3+p_4)$

$$d\Phi_2 = (2\pi)^4 \,\delta^4 \,(\,p_1 + p_2 - p_3 - p_4\,) \frac{d^3 \mathbf{p}_3}{(2\pi)^3 \,2E_3} \frac{d^3 \mathbf{p}_4}{(2\pi)^3 \,2E_4}$$

ullet Integrando sul 3-momento \mathbf{p}_4 della particella $\mathbf{4}$

$$d\Phi_2 = \delta (E_1 + E_2 - E_3 - E_4) \frac{(2\pi)}{2E_4} \frac{d^3 \mathbf{p}_3}{(2\pi)^3 2E_3} \qquad E_4 = \sqrt{\mathbf{p}_4^2 + m_4^2}$$

- Questa formula è valida in tutti i sistemi di riferimento
 - Specializziamo la formula nel sistema del centro di massa $\mathbf{p}_3 = -\mathbf{p}_4 \equiv \mathbf{q}_f$

$$E_3^2 = \mathbf{q}_f^2 + m_3^2$$
 $E_4^2 = \mathbf{q}_f^2 + m_4^2$

- $q_f = |{f q}_{
 m f}|$ è la quantità di moto delle due particelle nello stato finale, uguale per le due particelle
- Abbiamo pertanto

$$E_3 dE_3 \,=\, q_f dq_f \,=\, E_4 dE_4$$

· Definiamo infine

$$\label{eq:section} \left| \sqrt{s} \, = W_i \, = W_f \, = E_1 \, + E_2 \, = E_3 \, + E_4 \, \right|$$

Lo spazio delle fasi 1+2 ightarrow 3+4

Abbiamo pertanto

$$\begin{split} dW_f &= dE_3 + dE_4 &= \frac{q_f dq_f}{E_3} + \frac{q_f dq_f}{E_4} &= \frac{E_3 + E_4}{E_3 E_4} q_f dq_f \\ dW_f &= \frac{W_f}{E_3 E_4} \big| \mathbf{q}_f \big| d \big| \mathbf{q}_f \big| \end{split}$$

• Da cui otteniamo

$$q_f^2 dq_f \, = \, q_f \, \frac{E_3 E_4}{W_f} \, dW_f$$

• Possiamo pertanto riscrivere lo spazio delle fasi

$$d\Phi_2 = \delta (W_i - W_f) \frac{1}{E_3 E_4} \underbrace{\left(\frac{d^3 \mathbf{p}_3}{(4\pi)^2}\right)}_{} = \frac{1}{\left(4\pi\right)^2} \delta (W_i - W_f) \underbrace{\left(\frac{d^3 \mathbf{p}_3}{E_3 E_4}\right)}_{} = \underbrace{\left(\frac{d^3 \mathbf{p}_3}{(4\pi)^2}\right)}_{} = \underbrace{\left(\frac{d$$

$$d\Phi_2 = \frac{1}{(4\pi)^2} \delta(W_i - W_f) \frac{|\mathbf{q}_f|}{W_f} dW_f d\Omega$$

ullet Integrando su W_f

$$d\Phi_2 = \frac{1}{(4\pi)^2} \frac{|\mathbf{q}_f|}{W_f} d\Omega$$

Il fattore di flusso

- Infine, calcoliamo il fattore di flusso nel sistema del centro di massa
 - Nel centro di massa abbiamo $\mathbf{p}_2 = -\mathbf{p}_1 \equiv \mathbf{q}_i$

$$\sqrt{(p_1 \cdot p_2)^2 - (m_1 m_2)^2} = \sqrt{(E_1 E_2 + \mathbf{q}_i^2)^2 - (m_1 m_2)^2}$$

$$= \sqrt{E_1^2 E_2^2 + 2\mathbf{q}_i^2 E_1 E_2 + \mathbf{q}_i^4 - (m_1 m_2)^2}$$

$$= \sqrt{(\mathbf{q}_i^2 + m_1^2)(\mathbf{q}_i^2 + m_2^2) + 2\mathbf{q}_i^2 E_1 E_2 + \mathbf{q}_i^4 - (m_1 m_2)^2}$$

$$= \sqrt{2\mathbf{q}_i^4 + (m_1^2 + m_2^2 + 2E_1 E_2)\mathbf{q}_i^2} = |\mathbf{q}_i| \sqrt{2\mathbf{q}_i^2 + (m_1^2 + m_2^2 + 2E_1 E_2)}$$

$$= |\mathbf{q}_i| \sqrt{E_1^2 + E_2^2 + 2E_1 E_2} = |\mathbf{q}_i| \sqrt{(E_1 + E_2)^2} = |\mathbf{q}_i| W_i$$

Riassumendo

$$\sqrt{(p_1 \cdot p_2)^2 - (m_1 m_2)^2} = |\mathbf{q}_i| W_i$$

Sezione d'urto $e^-~\mu^ightarrow e^-~\mu^-$

- Come ultima semplificazione notiamo che nello scattering elastico $(m_1=m_3$ e $m_2=m_4)$ le quantità di moto nel centro di massa sono uguali $|{f q}_i|=|{f q}_f|$
 - Inoltre, dato che abbiamo trascurato le masse ($m_{\mu} \; {
 m e} \; m_e \ll E$)

$$|E_1| \approx |\mathbf{p}_1| = |\mathbf{q}_i|$$
 $E_2 = |\mathbf{p}_2| = |\mathbf{q}_i|$ $s = (p_1 + p_2)^2 = (E_1 + E_2, \mathbf{0})^2 = W_i^2$ $|\mathbf{q}_i| = |\mathbf{q}_f| = \frac{\sqrt{s}}{2}$

Riassumendo gli altri risultati

$$W_{i} = W_{f} = \sqrt{s} \qquad F = 4\sqrt{(p_{1} \cdot p_{2})^{2} - (m_{1}m_{2})^{2}} = 4|\mathbf{q}_{i}|W_{i}$$

$$d\Phi_{2} = \frac{1}{(4\pi)^{2}} \frac{|\mathbf{q}_{f}|}{W_{f}} d\Omega \qquad |\mathfrak{M}|^{2} = 2e^{4} \frac{1 + \cos^{4} \frac{\theta^{*}}{2}}{\sin^{4} \frac{\theta^{*}}{2}}$$

• Possiamo finalmente calcolare la sezione d'urto

$$d\sigma = \frac{1}{F} |\overline{\mathfrak{M}}|^2 d\Phi_2 = \frac{1}{4|\mathbf{q}_i|W_i} |\overline{\mathfrak{M}}|^2 \frac{1}{(4\pi)^2} \frac{|\mathbf{q}_f|}{W_f} d\Omega \qquad \qquad \frac{d\sigma}{d\Omega} = \frac{1}{(4\pi)^2} \frac{1}{4s} |\overline{\mathfrak{M}}|^2$$

$$\frac{d\sigma}{d\Omega} = \frac{1}{(4\pi)^2} \frac{e^4}{2s} \frac{1 + \cos^4 \frac{\theta^*}{2}}{\sin^4 \frac{\theta^*}{2}}$$

• Abbiamo detto che il propagatore fotonico è la funzione di Green dell'equazione del potenziale A_μ

$$\Box D_{\mu\nu} (x_1 - x_2) = g_{\mu\nu} \delta^4 (x_1 - x_2)$$

- Siamo interessati alla sua trasformata di Fourier $\widetilde{D}_{\mu
 u}\left(q
 ight)=\int D_{\mu
 u}\left(x
 ight)e^{-iq\cdot x}d^{4}x$
 - ullet Nel dominio della variabile q l'equazione diventa

$$-q^{2}\widetilde{D}_{\mu\nu}(q) = g_{\mu\nu} \qquad \qquad \widetilde{D}_{\mu\nu}(q) = -\frac{g_{\mu\nu}}{q^{2}}$$

- Tuttavia l'equazione di A_μ non è la più generale
 - La forma che consideriamo presuppone il gauge di Lorentz $\partial^{\mu}A_{\mu}=0$
 - Nel caso generale (senza fissare il gauge)

$$\Box A_{\mu} = 0 \qquad \Box A_{\mu} - \partial_{\mu} \partial_{\nu} A^{\nu} = 0 \qquad (\Box g_{\mu\nu} - \partial_{\mu} \partial_{\nu}) A^{\nu} = 0$$

- Verifichiamo che l'operatore $\Box g_{\mu\nu}-\partial_\mu\partial_\nu$ non ha un operatore inverso come avviene invece per l'equazione precedente
 - Nello spazio dei momenti $~\hat{O} = -q^2 g_{\mu\nu} + q_\mu q_\nu$
 - Cerchiamo l'operatore inverso nella forma $~\hat{O}^{-1} = A g_{\mu
 u} + B q_{\mu} q_{
 u}$
 - Cerchiamo A e B tali che $\hat{O}\hat{O}^{-1}=1$

$$\hat{O} = -q^2 g_{\mu\nu} + q_{\mu} q_{\nu}$$
 $\hat{O}^{-1} = A g_{\mu\nu} + B q_{\mu} q_{\nu}$ $\hat{O}\hat{O}^{-1} = 1$

Abbiamo

$$\hat{O}\hat{O}^{-1} = \left(-q^2g_{\mu\sigma} + q^{\mu}q^{\sigma}\right)(Ag_{\sigma\nu} + Bq_{\sigma}q_{\nu}) = \delta^{\mu}_{\nu}$$

Sviluppando

$$\hat{O}\hat{O}^{-1} = -q^2 A \delta^{\mu}_{\nu} \underbrace{-Bq^{\nu} q_{\nu}} + Aq^{\mu}q_{\nu} \underbrace{+Bq^{\nu} q_{\nu}} = -q^2 A \delta^{\mu}_{\nu} + Aq^{\mu}q_{\nu} = \delta^{\mu}_{\nu}$$

• Pertanto l'operatore non ha un'inverso

impossibile

• Il problema viene risolto generalizzando l'equazione del potenziale

$$\Box A_{\mu} - \partial_{\mu} \partial_{\nu} A^{\nu} = 0 \qquad \Box A_{\mu} - \partial_{\mu} \partial_{\nu} A^{\nu} + \frac{1}{\xi} \partial_{\mu} \partial_{\nu} A^{\nu} = 0$$

• La generalizzazione equivale ad aggiungere un termine nella Lagrangiana

$$\mathfrak{L} = -\frac{1}{4} F_{\mu\nu} F^{\mu\nu} \qquad \qquad \mathfrak{L}_{\xi} = -\frac{1}{4} F_{\mu\nu} F^{\mu\nu} - \frac{1}{2\xi} \left(\partial_{\mu} A^{\mu} \right)^{2}$$

· Verifichiamo che con questa generalizzazione l'inverso esiste ed è

$$\widetilde{D}_{\mu\nu}(q) = \frac{1}{q^2} \left[-g_{\mu\nu} + \frac{(1-\xi)q_{\mu}q_{\nu}}{q^2} \right]$$

- Utilizziamo la stessa ipotesi $~\hat{O}^{-1} = A g_{\sigma
 u} + B q_{\sigma} q_{
 u}$
 - · Abbiamo

$$\hat{O}\hat{O}^{-1} = \left(-q^2g_{\mu\sigma} + \left(1 - rac{1}{\xi}\right)q^{\mu}q^{\sigma}\right)(Ag_{\sigma
u} + Bq_{\sigma}q_{
u}) = \delta^{\mu}_{
u}$$

Sviluppando

$$\hat{O}\hat{O}^{-1} = -q^2 A \delta^\mu_
u - B q^2 q^\mu q_
u + \left(1 - rac{1}{\xi}
ight) \!\! A q^\mu q_
u + \left(1 - rac{1}{\xi}
ight) \!\! B q^2 q^\mu q_
u$$

• Uguagliamo rispettivamente a 1 e a 0 i coefficienti di $\delta_{\mu\nu}$ e $q_{\mu}q_{\nu}$

$$Aq^2 = -1 \qquad \left[\left(\frac{1}{\xi} \right) A \left(\frac{1}{\xi} \right) Bq^2 \right] q^\mu q_\nu = 0$$

Otteniamo

$$A=-\frac{1}{q^2} \qquad \text{inserendo nella seconda equazione} \qquad -Bq^2\frac{1}{\xi}=\frac{1}{q^2}\Big(1-\frac{1}{\xi}\Big)$$

• E infine
$$B=-rac{1}{q^2}rac{\xi-1}{q^2}$$

• Pertanto il propagatore è
$$\widetilde{D}_{\mu\nu}\left(q\right)=\frac{-g_{\mu\nu}+\frac{1-\xi}{q^2}q_{\mu}q_{\nu}}{q^2}$$

- Il parametro ξ permette di fissare il gauge
 - Il propagatore del fotone dipende dal gauge
 - Fra i valori di ξ più usati
 - Il gauge di Feynman $\xi=1$ che coincide con il gauge di Lorentz
 - Il gauge di Landau $\xi = 0$
- · Naturalmente il risultato fisico non può dipendere dal gauge
 - ullet L'elemento di matrice deve essere indipendente da ξ
- La conservazione della corrente elettromagnetica assicura che l'elemento di matrice sia indipendente dal gauge
 - Ricordiamo il risultato della diapositiva 262

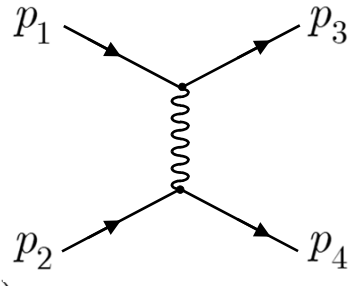
$$\mathfrak{M}_{fi} = -irac{e^2}{2} \overline{u}_{p_3} \gamma^{\mu} u_{p_1} \widetilde{D}_{\mu
u}(q) \overline{u}_{p_4} \gamma^{
u} u_{p_2} \qquad q = p_4 - p_2 = -(p_3 - p_1)^T$$

• Gli elementi di matrice delle correnti originavano da termini

$$j^{\mu}(x) = \left\langle \mathbf{p}_4 \mid \widehat{j}^{\mu}(x) \mid \mathbf{p}_2 \right\rangle = -e\overline{u}_{\mathbf{p}_4} \gamma^{\mu} u_{\mathbf{p}_2} e^{-i(p_4 - p_2) \cdot x}$$

• Per l'invarianza di gauge della teoria questa corrente è conservata

$$\partial_{\mu}j^{\mu}(x) = -e\overline{u}_{\mathbf{p}_{4}}\gamma^{\mu}u_{\mathbf{p}_{2}}\partial_{\mu}e^{-i(p_{4}-p_{2})\cdot x} = ie\overline{u}_{\mathbf{p}_{4}}\gamma^{\mu}u_{\mathbf{p}_{2}}(p_{4}-p_{2})_{\mu} = ie\overline{u}_{\mathbf{p}_{4}}\gamma^{\mu}u_{\mathbf{p}_{2}}q_{\mu}$$



$$\partial_{\mu} j^{\mu}(x) = i e \overline{u}_{\mathbf{p}_{4}} \gamma^{\mu} u_{\mathbf{p}_{2}} (p_{4} - p_{2})_{\mu} = i e \overline{u}_{\mathbf{p}_{4}} \gamma^{\mu} u_{\mathbf{p}_{2}} q_{\mu}$$

• Ricordiamo l'equazione di Dirac $ot\!\!/ p u_{\mathbf{p}} = m u_{\mathbf{p}}$

$$\partial_{\mu}j^{\mu}(x) = ie\overline{u}_{\mathbf{p}_{4}}\gamma^{\mu}q_{\mu}u_{\mathbf{p}_{2}} = ie\overline{u}_{\mathbf{p}_{4}}(\mathbf{p}_{4} - \mathbf{p}_{2})u_{\mathbf{p}_{2}} = ie\overline{u}_{\mathbf{p}_{4}}(m - m)u_{\mathbf{p}_{2}} = 0$$

- Abbiamo pertanto verificato che per una corrente conservata $q_{\mu} j^{\mu}(x) = 0$
- ullet Esaminiamo il propagatore nel gauge ξ

$$\widetilde{D}_{\mu\nu}(q) = \frac{-g_{\mu\nu} + \frac{1-\xi}{q^2} q_{\mu} q_{\nu}}{q^2}$$

• Osserviamo che se il propagatore è accoppiato a correnti conservate il termine gauge-dependent, che contiene $q_\mu q_\nu$, dà un contributo nullo

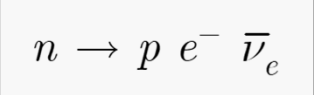
$$\mathfrak{M}_{\mathit{fi}} = -\frac{i}{2} \, j_{24}^{\mu} \widetilde{D}_{\mu\nu}(q) j_{13}^{\nu} \qquad \qquad j_{24}^{\mu} = e \overline{u}_{\mathbf{p}_{4}} \gamma^{\mu} u_{\mathbf{p}_{2}} \qquad \qquad j_{13}^{\mu} = e \overline{u}_{\mathbf{p}_{3}} \gamma^{\mu} u_{\mathbf{p}_{1}}$$

$$\mathfrak{M}_{\mathit{fi}} = \frac{i}{2} \, j_{24}^{\mu} \, \frac{g_{\mu\nu}}{q^{2}} \, j_{13}^{\nu} - \frac{i}{2} \frac{1-\xi}{q^{4}} \, j_{24}^{\mu} q_{\mu} q_{\nu} j_{13}^{\nu}$$
 Gauge independent!
$$j_{24}^{\mu} q_{\mu} = 0 \qquad q_{\nu} j_{13}^{\nu} = 0$$

$$\mathfrak{M}_{\mathit{fi}} = \frac{i}{2} \, j_{24}^{\mu} \, \frac{g_{\mu\nu}}{q^{2}} \, j_{13}^{\nu}$$

Teoria di Fermi del decadimento β

• Nel decadimento β^- un neutrone all'interno del nucleo si trasforma in un protone emettendo un elettrone e un antineutrino



• All'interno del nucleo può avvenire un decadimento β^+ : la trasformazione di un protone in neutrone con l'emissione di un positrone e di un neutrino

$$p \to n \ e^+ \ \nu_e$$

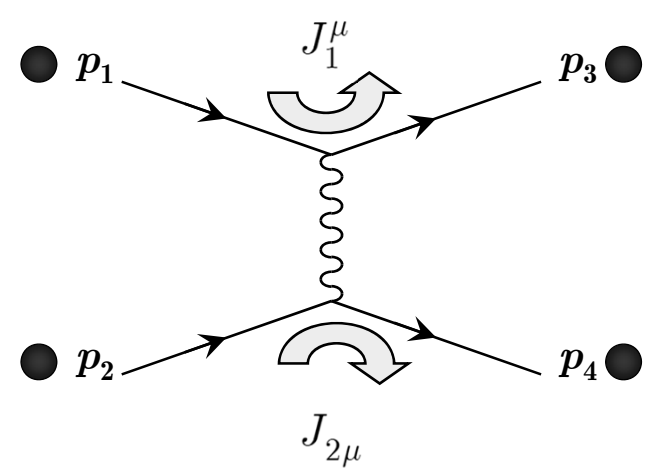
- La prima teoria soddisfacente del decadimento eta fu formulata da Enrico Fermi nel 1934
 - La storia della radioattività precedente al lavoro di Fermi a partire dalla scoperta di Bequerel è raccontata in un interessante articolo di A. Pais [1]
- Il decadimento β è dovuto ad una forza molto debole, l'Interazione Debole
 - Nonostante sia poco intensa è molto importante e determina aspetti della nostra vita quotidiana
 - Ad esempio la velocità con cui procede la reazione di produzione del deuterio all'interno del sole [2]

$$p p \to p n e^+ \nu \to D \gamma e^+ \nu$$

- [1] A. Pais Radioactivity's two early puzzles Reviews of Modern Physics, Vol. 49, pag. 925 1977
- [2] R. N. Cahn The eighteen arbitrary parameters of the standard model in your everyday life Review of Modern Physiscs, Vol. 68, pag. 951 - 1996

Decadimento β del neutrone

- Enrico Fermi propose una teoria per il decadimento β nel 1934
 - Fermi si ispirò all'interazione elettromagnetica di due particelle cariche che è interpretata come l'interazione di due correnti



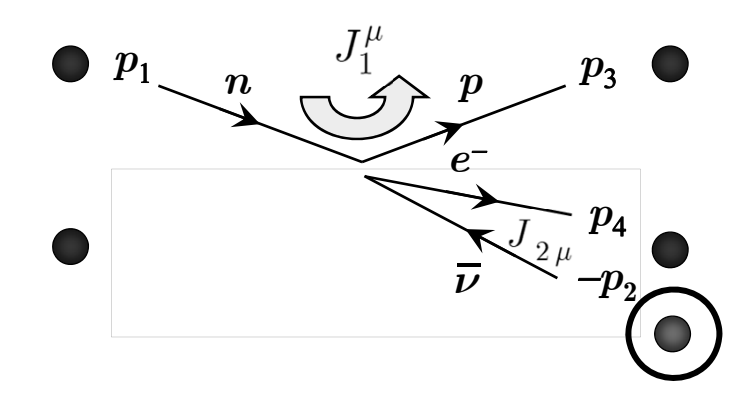
- ullet La corrente J_1
 - Distrugge un elettrone di momento p_1
 - Crea un elettrone di momento $p_{\scriptscriptstyle 3}$
- ullet Analogamente, la corrente J_2
 - ullet Distrugge un elettrone di momento p_2

 $J^{\mu} \sim \overline{\psi}_f \gamma^{\mu} \psi_i$

- ullet Crea un elettrone di momento p_4
- Le correnti introdotte sono costruite utilizzando gli operatori di campo $\widehat{\psi}_{e}\left(x\right)$ per i due elettroni
- Lungo la linea di una corrente ci sono delle grandezze fisiche che si conservano
 - In questo caso
 - La carica elettrica (ψ_i distrugge -e, ψ_f crea -e)
 - Il numero fermionico

Decadimento β del neutrone

• Utilizzando questo modo di vedere anche per il decadimento etale due correnti hanno il seguente ruolo



- La prima è la corrente adronica
 - Conserva il numero barionico

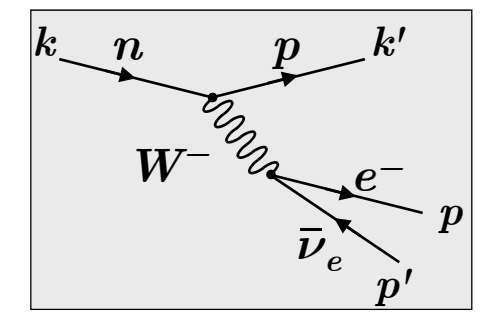
$$\begin{bmatrix} N_n = 1 & N_p = 1 & 1 = 1 \end{bmatrix}$$

- Non conserva la carica elettrica
- La seconda è la corrente leptonica
 - Conserva il numero leptonico

$$N_{c^{-}} = 1$$
 $N_{\overline{\nu}} = -1$ $0 = 1 - 1$

Non conserva la carica elettrica

- ullet La corrente J_1
 - Distrugge un neutrone n di momento p_1
 - ullet Crea un protone p di momento p_3
- La corrente J_2
 - Crea un elettrone e^- di momento p_A
 - Distrugge un neutrino ν di momento p_{γ}
- Ovvero
 - Crea un antineutrino $\overline{\nu}$ di momento $-p_{\gamma}$
- Cosa sostituisce il fotone?
 - Fermi suppose una interazione di contatto $\mathcal{H}'=GJ^{\mu}_{pn}(x)g_{\mu\nu}J^{\nu}_{e\overline{\nu}}(x)$
 - Oggi interpretiamo con lo scambio di un bosone carico e con massa: W^{\pm}



Teoria di Fermi del decadimento β

 Nel linguaggio della Teoria Quantistica dei Campi il decadimento abbiamo descritto come la transizione da uno stato iniziale ad uno finale

$$m{n}
ightarrow m{p} \; m{e}^- \; \overline{
u}$$

$$|i\rangle = |n\rangle$$

$$egin{aligned} m{n}
ightarrow m{p} \; m{e}^- \; \overline{
u} \end{aligned} egin{aligned} m{|i
angle} = m{|n
angle} & m{|f
angle} = m{|p} \; m{e}^- \; \overline{
u}
angle \end{aligned}$$

 Sappiamo che la probabilità di transizione si calcola a partire dal corrispondente elemento della matrice S

$$\left|S_{i\!f}\right. = \left\langle f \mid \widehat{S} \mid i \right\rangle$$

 \bullet L'operatore S deve contenere gli opportuni operatori di campo in modo che l'elemento di matrice sia diverso da zero

$$\widehat{\psi} = \int \frac{d^3 \mathbf{k}}{(2\pi)^3 \sqrt{2E_{\mathbf{k}}}} \sum_{\lambda} \left(u_{\mathbf{k},\lambda} \widehat{a}_{\mathbf{k},\lambda} e^{-ik \cdot x} + v_{\mathbf{k},\lambda} \widehat{b}_{\mathbf{k},\lambda}^{\dagger} e^{ik \cdot x} \right)$$

crea un antifermione

distrugge un fermione

Nello stato iniziale viene distrutto:

• Nello stato finale vengono creati

ullet Un neutrone $o ~\psi_n$

 $extcolor{line}{ imes}$ Un protone $extcolor{line}{ imes}$ ψ_p^\dagger

• Fermi ipotizzò che l'interazione fosse descritta Un antineutrino $o \psi_
u$

dalla densità Hamiltoniana

$${\cal H}' = Gig(\overline{\psi_p}\gamma^\mu\psi_nig)ig(\overline{\psi_e}\gamma_\mu\psi_
uig)$$

tutti i campi sono calcolati nel punto x

- La transizione è pertanto dovuta a una interazione di contatto e puntiforme
- Deriva da un termine da aggiungere alla Lagrangiana

$$\mathcal{L}' = -\mathcal{H}'$$

Teoria di Fermi del decadimento β

- La stessa Hamiltoniana con un ulteriore termine (hermitiano coniugato) può descrivere altre interazioni
- · Ad esempio

$$\boxed{\begin{array}{c} \nu\,n\to p\,\,e^-\\ \end{array}} \qquad \boxed{ \mathcal{H}'=G\big(\,\overline{\psi}_p\gamma^\mu\psi_n\,\big)\big(\,\overline{\psi}_e\gamma_\mu\psi_\nu\,\big)+h.c.}$$
 • Distrugge un neutrone

- Crea un protone 👡
- Crea un elettrone <
- Quali altre reazioni descrive l'Hamiltoniana?
 - E in particolare, il termine h.c.
- Nota curiosa
 - La teoria di Fermi fu pubblicata in Z. Physik, 88, 161 (1934)
 - L'articolo fu prima sottoposto per la pubblicazione a Nature che lo rifiutò con la seguente motivazione
 - "... because it contains speculations too remote from reality to be of interest to the reader"

La costante G

- ullet Notiamo per finire le dimensioni della costante G
 - ullet La densità Hamiltoniana \mathcal{H}' deve avere le dimensioni di una densità di energia: $[\mathcal{H}'] = ML^{-3} = M^4$
 - Alternativamente l'integrale $\int \mathcal{L}' d^4x$ è un'azione e nelle unità di misura naturali deve essere adimensionale: $[\mathcal{L}']L^4 = [\mathcal{L}']M^{-4} \rightarrow [\mathcal{L}'] = M^4$
- ullet Le dimensioni del campo ψ si possono dedurre
 - Dal termine cinetico della lagrangiana $i \; ar{\psi} \; \mathscr{J} \; \psi$:da qui $[\psi]^2 L^{-1} = [\psi]^2 M^1 = M^4$ e infine $[\psi]^2=M^3$, $[\psi]=ar{M}^{3/2}$
 - Dalla rappresentazione integrale $\widehat{\psi} = \int \frac{d^3\mathbf{k}}{(2\pi)^3 \sqrt{2E_\mathbf{k}}} \sum_{\lambda} \left(u_{\mathbf{k},\lambda} \widehat{a}_{\mathbf{k},\lambda} e^{-ik\cdot x} + v_{\mathbf{k},\lambda} \widehat{b}_{\mathbf{k},\lambda}^{\dagger} e^{ik\cdot x}\right)$ E inoltre $[\boldsymbol{u}] = \boldsymbol{M}^{1/2}$ e $[\boldsymbol{a}] = [\boldsymbol{b}] = \boldsymbol{M}^{-3/2}$
 - $u, v \sim \sqrt{2E}$ $\left\{a_{\mathbf{k}}, a_{\mathbf{k}'}^{\dagger}\right\} \sim \delta\left(\mathbf{k} \mathbf{k}'\right)$
- Pertanto di nuovo $[\psi]$ = $M^{3/2}$
- La dimensione della costante G risulta quindi $[G][\psi]^4=M^4=[G][M]^6$ da cui [G] = M^{-2}
 - Notare che nel caso della interazione elettromagnetica la costante di accoppiamento α è adimensionale

$$\alpha = \frac{e^2}{4\pi\varepsilon_0\hbar c} \approx \frac{1}{137}$$

• Nel caso dell'interazione elettromagnetica la dimensione M^{-2} necessaria per rendere adimensionale l'ampiezza è introdotta dal propagatore

• L'Hamiltoniana d'interazione si ottiene integrando sul volume tridimensionale:

$$H' = \int \mathcal{H}' d^3x$$

 Per capire le transizioni che possono essere indotte da questa Hamiltoniana occorre fare riferimento allo sviluppo dei campi fermionici in operatori di creazione e annichilazione

$$\widehat{\psi} = \int \frac{d^3 \mathbf{k}}{(2\pi)^3 \sqrt{2E_{\mathbf{k}}}} \sum_{\lambda} \left(u_{\mathbf{k},\lambda} \widehat{a}_{\mathbf{k},\lambda} e^{-ik \cdot x} + v_{\mathbf{k},\lambda} \widehat{b}_{\mathbf{k},\lambda}^{\dagger} e^{ik \cdot x} \right)$$

- · Notiamo che
 - Gli operatori $a_{k\lambda}$ distruggono particelle
 - Gli operatori $b_{\,\mathbf{k}\lambda}$ distruggono antiparticelle
- Analogamente
 - Gli operatori $a_{\mathbf{k}\lambda}{}^{\dagger}$ creano particelle
 - Gli operatori $b_{\,{f k}\lambda}{}^{\dagger}$ creano antiparticelle
- ullet Il campo ψ distrugge particelle, crea antiparticelle
- ullet Il campo ψ^\dagger crea particelle, distrugge antiparticelle
- Notare che in ψ gli operatori b^\dagger relativi alle antiparticelle compaiono insieme all'esponenziale di "energia negativa" e agli spinori v(p)=u(-p)

- Impostiamo adesso il calcolo dell'elemento di matrice
 - Abbiamo bisogno di esprimere gli stati dello spazio di Fock utilizzando gli opportuni operatori di creazione

$$|pe^{-}\overline{\nu}\rangle = \widehat{a}_{pp}^{\dagger}\widehat{a}_{pe}^{\dagger}\widehat{b}_{p\nu}^{\dagger}|0\rangle \qquad \langle pe^{-}\overline{\nu}| = \langle 0|\widehat{a}_{pp}\widehat{a}_{pe}\widehat{b}_{p\nu}$$

- Per semplificare la notazione abbiamo posto: $pp=p_p; pn=p_n; pe=p_e; p\nu \equiv p_{\nu}$
 - Inoltre è sottointeso che $a_{pp}^\dagger \equiv \sqrt{2E_{pp}} a_{pp}^\dagger$ (li inseriremo alla fine)
- Al primo ordine dello sviluppo perturbativo l'ampiezza della transizione è data dall'elemento di matrice dell'Hamiltoniana H^\prime fra stato iniziale e stato finale

$$\mathcal{A}_{fi} = -i \int dt \left\langle \, pe^- \overline{
u} \mid H_I' \mid n \, \right
angle = -i \int d^4 x \, \langle 0 \, | \, \widehat{a}_{pp} \widehat{a}_{pe} \widehat{b}_{p
u} \mathcal{H}_I' \widehat{a}_{pn}^\dagger \, | \, 0
angle \qquad H_I' = \int \mathcal{H}_I' d^3 x \, | \, 0 \, | \, 0 \, | \, 0 \, | \, 0 \, | \, 0 \, | \, 0 \, | \, 0 \, | \, 0 \, | \, 0 \, | \, 0 \, | \, 0 \, | \, 0 \, | \, 0 \, | \, 0 \, | \, 0 \, | \, 0 \, | \, 0 \, | \, 0 \, | \, 0 \, | \, 0 \, | \, 0 \, | \, 0 \, | \, 0 \, | \, 0 \, | \, 0 \, | \, 0 \, | \, 0 \, | \, 0 \, | \, 0 \, | \, 0 \, | \, 0 \, | \, 0 \, | \, 0 \, | \, 0 \, | \, 0 \, | \, 0 \, | \, 0 \, | \, 0 \, | \, 0 \, | \, 0 \, | \, 0 \, | \, 0 \, | \, 0 \, | \, 0 \, | \, 0 \, | \, 0 \, | \, 0 \, | \, 0 \, | \, 0 \, | \, 0 \, | \, 0 \, | \, 0 \, | \, 0 \, | \, 0 \, | \, 0 \, | \, 0 \, | \, 0 \, | \, 0 \, | \, 0 \, | \, 0 \, | \, 0 \, | \, 0 \, | \, 0 \, | \, 0 \, | \, 0 \, | \, 0 \, | \, 0 \, | \, 0 \, | \, 0 \, | \, 0 \, | \, 0 \, | \, 0 \, | \, 0 \, | \, 0 \, | \, 0 \, | \, 0 \, | \, 0 \, | \, 0 \, | \, 0 \, | \, 0 \, | \, 0 \, | \, 0 \, | \, 0 \, | \, 0 \, | \, 0 \, | \, 0 \, | \, 0 \, | \, 0 \, | \, 0 \, | \, 0 \, | \, 0 \, | \, 0 \, | \, 0 \, | \, 0 \, | \, 0 \, | \, 0 \, | \, 0 \, | \, 0 \, | \, 0 \, | \, 0 \, | \, 0 \, | \, 0 \, | \, 0 \, | \, 0 \, | \, 0 \, | \, 0 \, | \, 0 \, | \, 0 \, | \, 0 \, | \, 0 \, | \, 0 \, | \, 0 \, | \, 0 \, | \, 0 \, | \, 0 \, | \, 0 \, | \, 0 \, | \, 0 \, | \, 0 \, | \, 0 \, | \, 0 \, | \, 0 \, | \, 0 \, | \, 0 \, | \, 0 \, | \, 0 \, | \, 0 \, | \, 0 \, | \, 0 \, | \, 0 \, | \, 0 \, | \, 0 \, | \, 0 \, | \, 0 \, | \, 0 \, | \, 0 \, | \, 0 \, | \, 0 \, | \, 0 \, | \, 0 \, | \, 0 \, | \, 0 \, | \, 0 \, | \, 0 \, | \, 0 \, | \, 0 \, | \, 0 \, | \, 0 \, | \, 0 \, | \, 0 \, | \, 0 \, | \, 0 \, | \, 0 \, | \, 0 \, | \, 0 \, | \, 0 \, | \, 0 \, | \, 0 \, | \, 0 \, | \, 0 \, | \, 0 \, | \, 0 \, | \, 0 \, | \, 0 \, | \, 0 \, | \, 0 \, | \, 0 \, | \, 0 \, | \, 0 \, | \, 0 \, | \, 0 \, | \, 0 \, | \, 0 \, | \, 0 \, | \, 0 \, | \, 0 \, | \, 0 \, | \, 0 \, | \, 0 \, | \, 0 \, | \, 0 \, | \, 0 \, | \, 0 \, | \, 0 \, | \, 0 \, | \, 0 \, | \, 0 \, | \, 0 \, | \, 0 \, | \, 0 \, | \, 0 \, | \, 0 \, | \, 0 \, | \, 0 \, | \, 0 \, | \, 0 \, | \, 0 \, | \, 0 \, | \, 0 \, | \, 0 \, | \, 0 \, | \, 0 \, | \, 0 \, | \, 0 \, | \, 0 \, | \, 0 \, | \, 0 \, | \, 0 \, | \, 0 \, | \, 0 \, | \, 0 \, | \, 0 \, | \, 0 \, | \, 0 \, | \, 0 \, | \, 0 \, | \, 0 \, | \, 0 \, | \, 0 \, | \, 0 \, | \, 0 \, | \, 0 \, | \, 0 \, | \, 0 \, | \, 0 \, | \, 0 \, | \, 0 \, | \, 0 \, | \, 0 \, | \, 0 \, | \, 0 \, | \, 0 \, | \, 0 \, | \, 0$$

- Per calcolare esplicitamente l'elemento di matrice
 - Si introduce l'espressione della densità Hamiltoniana

$${\cal H}_I' = Gig(\, \overline{\psi}_p \gamma^\mu \psi_n\,ig)ig(\, \overline{\psi}_e \gamma_\mu \psi_
u\,ig)$$



 Si sostituiscono gli operatori di campo nella densità Hamiltoniana con le rappresentazioni integrali

$$\widehat{\psi} = \int \frac{d^3 \mathbf{k}}{(2\pi)^3 \sqrt{2E_{\mathbf{k}}}} \sum_{\lambda} \left(u_{\mathbf{k},\lambda} \widehat{a}_{\mathbf{k},\lambda} e^{-ik \cdot x} + v_{\mathbf{k},\lambda} \widehat{b}_{\mathbf{k},\lambda}^{\dagger} e^{ik \cdot x} \right)$$

Otteniamo pertanto

$${\cal A}_{fi} = -iG\!\int d^4x \langle 0 \, | \, \widehat{a}_{pp} \widehat{a}_{pe} \widehat{b}_{p
u} \left(\, \overline{\psi}_p \gamma^\mu \psi_n \,
ight) \! \left(\, \overline{\psi}_e \gamma_\mu \psi_
u \,
ight) \widehat{a}_{pn}^\dagger \, | \, 0
angle$$

- Ricordiamo che tutti i campi sono calcolati nello stesso punto: $\psi(x)$
- Ricordiamo inoltre che lo spazio di Fock del nostro sistema è un prodotto tensoriale di stati di singola particella

$$|pe^{-\overline{\nu}}\rangle = \hat{a}_{pp}^{\dagger}\hat{a}_{pe}^{\dagger}\hat{b}_{p\nu}^{\dagger}|0\rangle \quad |0\rangle = |0\rangle_{p} \otimes |0\rangle_{n} \otimes |0\rangle_{e} \otimes |0\rangle_{\nu} \quad |pe^{-\overline{\nu}}\rangle = \hat{a}_{pp}^{\dagger}|0\rangle \otimes \hat{a}_{pe}^{\dagger}|0\rangle \otimes \hat{b}_{p\nu}^{\dagger}|0\rangle \otimes |0\rangle_{n}$$

· Possiamo pertanto riscrivere l'elemento di matrice come

$$\mathcal{A}_{fi} = -iG \int d^4x \langle 0 | \widehat{a}_{pp} \overline{\psi}_p \gamma^{\mu} \psi_n \widehat{a}_{pn}^{\dagger} | 0 \rangle \langle 0 | \widehat{a}_{pe} \widehat{b}_{p\nu} \overline{\psi}_e \gamma_{\mu} \psi_{\nu} | 0 \rangle$$



Consideriamo il termine leptonico

$$\langle 0 | \widehat{a}_{pe} \widehat{b}_{p\nu} \overline{\psi}_e \gamma_\mu \psi_\nu | 0 \rangle =$$

$$= \int \frac{d^3 \mathbf{k}_e}{(2\pi)^3 \sqrt{2E_e}} \frac{d^3 \mathbf{k}_{\nu}}{(2\pi)^3 \sqrt{2E_{\nu}}} \langle 0 | \widehat{a}_{pe} \widehat{b}_{p\nu} \left(\overline{u}_{ke} \widehat{a}_{ke}^{\dagger} e^{+ik_e \cdot x} + \overline{v}_{ke} \widehat{b}_{ke} e^{-ik_e \cdot x} \right) \gamma_{\mu} \left(u_{k\nu} \widehat{a}_{k\nu} e^{-ik_{\nu} \cdot x} + v_{k\nu} \widehat{b}_{k\nu}^{\dagger} e^{ik_{\nu} \cdot x} \right) | 0 \rangle$$

$$\equiv \int \frac{d^3 \mathbf{k}_e}{(2\pi)^3 \sqrt{2E_e}} \frac{d^3 \mathbf{k}_e}{(2\pi)^3 \sqrt{2E_\nu}} \langle 0 | \widehat{\mathcal{O}}_l | 0 \rangle$$

• L'ultima uguaglianza definisce l'operatore $\hat{\mathcal{O}}_l$

• Analizziamo l'operatore $\widehat{\mathcal{O}}_l$

$$\begin{split} \widehat{\mathcal{O}}_{l} &= \widehat{a}_{pe} \widehat{b}_{p\nu} \left(\overline{u}_{ke} \widehat{a}_{ke}^{\dagger} e^{+ik_{e} \cdot x} + \overline{v}_{ke} \widehat{b}_{ke} e^{-ik_{c} \cdot x} \right) \gamma_{\mu} \left(u_{k\nu} \widehat{a}_{k\nu} e^{-ik_{\nu} \cdot x} + v_{k\nu} \widehat{b}_{k\nu}^{\dagger} e^{ik_{\nu} \cdot x} \right) = \\ &= \begin{pmatrix} \widehat{a}_{pe} \widehat{b}_{p\nu} \overline{u}_{ke} \widehat{a}_{ke}^{\dagger} e^{+ik_{e} \cdot x} \gamma_{\mu} u_{k\nu} \widehat{a}_{k\nu} e^{-ik_{\nu} \cdot x} + \widehat{a}_{pe} \widehat{b}_{p\nu} \overline{v}_{ke} \widehat{b}_{ke} e^{-ik_{c} \cdot x} \gamma_{\mu} u_{k\nu} \widehat{a}_{k\nu} e^{-ik_{\nu} \cdot x} + \\ \widehat{a}_{pe} \widehat{b}_{p\nu} \overline{u}_{ke} \widehat{a}_{ke}^{\dagger} e^{+ik_{e} \cdot x} \gamma_{\mu} v_{k\nu} \widehat{b}_{k\nu}^{\dagger} e^{ik_{\nu} \cdot x} + \widehat{a}_{pe} \widehat{b}_{p\nu} \overline{v}_{ke} \widehat{b}_{ke} e^{-ik_{c} \cdot x} \gamma_{\mu} v_{k\nu} \widehat{b}_{k\nu}^{\dagger} e^{ik_{\nu} \cdot x} \end{pmatrix} \\ &= \begin{pmatrix} \widehat{a}_{pe} \widehat{b}_{p\nu} \widehat{a}_{ke}^{\dagger} \widehat{a}_{k\nu} \overline{u}_{ke} \chi_{\mu} e^{i(k_{c} - k_{\nu}) \cdot x} + \widehat{a}_{pe} \widehat{b}_{p\nu} \widehat{a}_{k\nu} \chi_{\nu} e^{-i(k_{c} + k_{\nu}) \cdot x} + \\ \widehat{a}_{pe} \widehat{b}_{p\nu} \widehat{a}_{ke}^{\dagger} \widehat{b}_{k\nu}^{\dagger} \overline{u}_{ke} \gamma_{\mu} v_{k\nu} e^{i(k_{c} + k_{\nu}) \cdot x} + \widehat{a}_{pe} \widehat{b}_{p\nu} \widehat{b}_{ke} b_{\nu} \chi_{\nu} \overline{v}_{ke} \gamma_{\mu} v_{k\nu} e^{-i(k_{c} - k_{\nu}) \cdot x} \end{pmatrix} \end{split}$$

• Esaminiamo adesso il risultato dell'applicazione di questo operatore al vuoto $\langle 0\,|\widehat{\mathcal{O}}_{l}\,|0
angle$

$$\widehat{a}_{pe}\widehat{b}_{p\nu}\widehat{a}_{ke}^{\dagger}\widehat{a}_{k\nu}|0\rangle = 0 \qquad \widehat{a}_{pe}\widehat{b}_{p\nu}\widehat{a}_{k\nu}\widehat{b}_{ke}|0\rangle = 0 \qquad \widehat{a}_{pe}\widehat{b}_{p\nu}\widehat{b}_{ke}\widehat{b}_{k\nu}^{\dagger}|0\rangle = \widehat{a}_{pe}\widehat{b}_{p\nu}\widehat{b}_{k\nu}\widehat{b}_{ke}|0\rangle = 0$$

$$\widehat{a}_{pe}\widehat{b}_{p\nu}\widehat{b}_{ke}\widehat{b}_{k\nu}^{\dagger}|0\rangle = \widehat{a}_{pe}\widehat{b}_{p\nu}\widehat{b}_{k\nu}\widehat{b}_{ke}|0\rangle = 0$$

$$\widehat{b}_{ke}|0\rangle = 0$$

$$\widehat{b}_{ke}\widehat{b}_{k\nu}^{\dagger}=\widehat{b}_{k\nu}^{\dagger}\widehat{b}_{ke}$$

$$\widehat{b}_{ke}|0\rangle = 0$$

• Pertanto sopravvive solo il termine

$$\widehat{\mathcal{O}}_{l} = \widehat{a}_{pe} \widehat{b}_{p\nu} \widehat{a}_{ke}^{\dagger} \widehat{b}_{k\nu}^{\dagger} \overline{u}_{ke} \gamma_{\mu} v_{k\nu} e^{i(k_{e} + k_{\nu}) \cdot x}$$

Operatori di particelle differenti: commutano

287

• Per concludere, calcoliamo il valore di aspettazione nel vuoto

$$\left\langle 0 \mid \widehat{\mathcal{O}}_{l} \mid 0 \right\rangle = \left\langle 0 \mid \widehat{a}_{pe} \widehat{b}_{p\nu} \widehat{a}_{ke}^{\dagger} \widehat{b}_{k\nu}^{\dagger} \mid 0 \right\rangle \overline{u}_{ke} \gamma_{\mu} v_{k\nu} e^{i(k_{e} + k_{\nu}) \cdot x}$$

 Utilizziamo le regole di commutazione per portare a destra gli operatori di distruzione

$$\begin{aligned}
\left\langle 0 \mid \widehat{a}_{pe}\widehat{b}_{p\nu}\widehat{a}_{ke}^{\dagger}\widehat{b}_{k\nu}^{\dagger} \mid 0 \right\rangle &= \left\langle 0 \mid \widehat{a}_{pe}\widehat{a}_{ke}^{\dagger}\widehat{b}_{p\nu}\widehat{b}_{k\nu}^{\dagger} \mid 0 \right\rangle \\
&= \left\langle 0 \mid \widehat{a}_{pe}\widehat{a}_{ke}^{\dagger}\left((2\pi)^{3}\delta^{3}(\mathbf{p}_{\nu} - \mathbf{k}_{\nu}) + \widehat{b}_{\nu\nu}^{\dagger}\widehat{b}_{p\nu}\right) \mid 0 \right\rangle \\
&= \left\langle 0 \mid \widehat{a}_{pe}\widehat{a}_{ke}^{\dagger}\left((2\pi)^{3}\delta^{3}(\mathbf{p}_{\nu} - \mathbf{k}_{\nu}) + \widehat{b}_{\nu\nu}^{\dagger}\widehat{b}_{p\nu}\right) \mid 0 \right\rangle \\
&= \left\langle 0 \mid \widehat{a}_{pe}\widehat{a}_{ke}^{\dagger}\left((2\pi)^{3}\delta^{3}(\mathbf{p}_{\nu} - \mathbf{k}_{\nu}) + \widehat{b}_{\nu\nu}^{\dagger}\widehat{b}_{p\nu}\right) \mid 0 \right\rangle
\end{aligned}$$

$$= \left\langle 0 \mid \widehat{a}_{pe} \widehat{a}_{ke}^{\dagger} \mid 0 \right\rangle (2\pi)^{3} \, \delta^{3} \left(\mathbf{p}_{\nu} - \mathbf{k}_{\nu} \right) = \left\langle 0 \mid 0 \right\rangle (2\pi)^{3} \, \delta^{3} \left(\mathbf{p}_{\nu} - \mathbf{k}_{\nu} \right) (2\pi)^{3} \, \delta^{3} \left(\mathbf{p}_{e} - \mathbf{k}_{e} \right)$$

$$\left\{ \widehat{a}_{pe}, \widehat{a}_{ke}^{\dagger} \right\} = (2\pi)^{3} \, \delta^{3} \left(\mathbf{p}_{e} - \mathbf{k}_{e} \right)$$

• In conclusione (inseriamo adesso esplicitamente le normalizzazioni degli stati)

$$\left\langle 0 \mid \widehat{\mathcal{O}}_{l} \mid 0 \right\rangle = \sqrt{2E_{\mathbf{p}_{e}}} \sqrt{2E_{\mathbf{p}_{\nu}}} \left(2\pi\right)^{3} \delta^{3} \left(\mathbf{p}_{\nu} - \mathbf{k}_{\nu}\right) \left(2\pi\right)^{3} \delta^{3} \left(\mathbf{p}_{e} - \mathbf{k}_{e}\right) \overline{u}_{ke} \gamma_{\mu} v_{k\nu} e^{i(k_{e} + k_{\nu}) \cdot x}$$

• Inserendo nell'espressione per $\langle 0 \, | \, \widehat{a}_{pe} \widehat{b}_{p\nu} \overline{\psi}_e \gamma_\mu \psi_\nu \, | \, 0 \rangle$ e calcolando gli integrali

$$\langle 0 | \widehat{a}_{pe} \widehat{b}_{p\nu} \overline{\psi}_e \gamma_\mu \psi_\nu | 0 \rangle = \int \frac{d^3 \mathbf{k}_e}{(2\pi)^3 \sqrt{2E_e}} \frac{d^3 \mathbf{k}_e}{(2\pi)^3 \sqrt{2E_\nu}} \langle 0 | \widehat{\mathcal{O}}_l | 0 \rangle = \overline{u}_{p_e} \gamma_\mu v_{p_\nu} e^{i(p_e + p_\nu) \cdot x}$$

momenti (esterni) delle particelle

• Riepiloghiamo i risultati ottenuti

$$\left\langle e\overline{\nu} \mid \overline{\psi}_e \gamma_\mu \psi_\nu \mid 0 \right\rangle = \langle 0 \mid \widehat{a}_{pe} \widehat{b}_{p\nu} \overline{\psi}_e \gamma_\mu \psi_\nu \mid 0 \rangle = \overline{u}_{p_e} \gamma_\mu v_{p_\nu} e^{i(p_e + p_\nu) \cdot x}$$

$$\langle p \mid \overline{\psi}_p \gamma^{\mu} \psi_n \mid n \rangle = \langle 0 \mid \widehat{a}_{pp} \overline{\psi}_p \gamma^{\mu} \psi_n \widehat{a}_{pn}^{\dagger} \mid 0 \rangle = \overline{u}_{p_p} \gamma^{\mu} u_{p_n} e^{i(p_p - p_n) \cdot x}$$

• Ricordiamo inoltre l'espressione per l'ampiezza di transizione

$$\mathcal{A}_{fi} = -iG \int d^4x \langle 0 | \hat{a}_{pp} \overline{\psi}_p \gamma^{\mu} \psi_n \hat{a}_{pn}^{\dagger} | 0 \rangle \langle 0 | \hat{a}_{pe} \hat{b}_{p\nu} \overline{\psi}_e \gamma_{\mu} \psi_{\nu} | 0 \rangle$$

Inserendo i risultati trovati si trova

$$\mathcal{A}_{\mathit{fi}} = -iG\overline{u}_{p_p}\gamma^{\mu}u_{p_n} \ \overline{u}_{p_e}\gamma_{\mu}v_{p_
u}\int d^4x e^{i(\,p_p-p_n\,)\cdot x}e^{i(\,p_e+p_
u\,)\cdot x}$$

$$\mathcal{A}_{fi} = -iG\overline{u}_{p_p} \gamma^{\mu} u_{p_n} \ \overline{u}_{p_e} \gamma_{\mu} v_{p_{\nu}} (2\pi)^4 \delta^4 (p_n - p_p - p_{\nu} - p_e)$$

• L'ampiezza invariante è

$$\mathcal{A}_{fi} = \mathfrak{M}_{fi} (2\pi)^4 \delta^4 ()$$

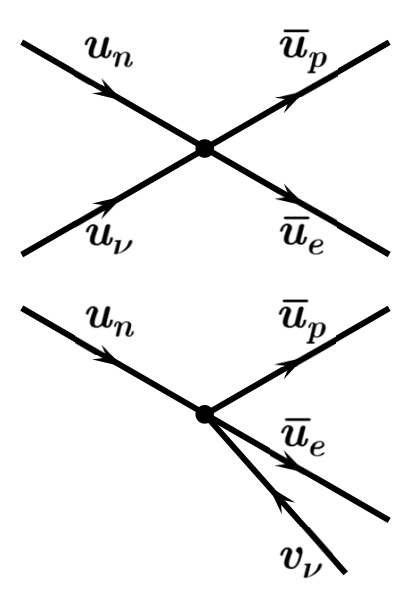
$$igg| \mathfrak{M}_{\mathit{fi}} \, = -i G \overline{u}_{p_p} \gamma^{\mu} u_{p_n} \,\,\, \overline{u}_{p_e} \gamma_{\mu} v_{p_{
u}}$$

- Osserviamo che l'ampiezza contiene solo funzioni (spinori, matrici e funzioni ordinarie) e nessun operatore (ψ , a, b ...)
 - In futuro le ampiezze potranno essere scritte utilizzando regole e diagrammi di Feynman senza rifare tutto il calcolo con la teoria dei campi
- Le regole di Feynman possono essere dedotte osservando il termine della Lagrangiana relativo alla interazione fra i campi
 - Ricordiamo che $\mathcal{H}' = -\mathcal{L}'$

$$\mathcal{L}' = -G(\bar{\psi}_p \gamma^{\mu} \psi_n)(\bar{\psi}_e \gamma_{\mu} \psi_{\nu}) + h.c.$$

- · Al primo ordine corrispondono i diagrammi con un solo vertice
 - · Le regole sono
 - ullet Particella uscente ullet spinore \overline{u}
 - ullet Particella entrante ullet spinore u
 - Anti-particella uscente $\;\;
 ightarrow$ spinore v
 - Anti-particella entrante $\;\;
 ightarrow$ spinore \overline{v}
 - Vertice fra due particelle $\to \sqrt{G} \gamma^\mu$
 - L'ampiezza corrispondente è

$$igg| \mathfrak{M}_{\mathit{fi}} \, = \, -i G \overline{u}_{p_p} \gamma^{\mu} u_{p_n} \,\,\, \overline{u}_{p_e} \gamma_{\mu} v_{p_{
u}}$$



Osservabili Fisiche

- Nella fisica delle particelle Elementari si studiano sostanzialmente:
 - Decadimenti:
 - · Vite medie
 - Natura delle particelle prodotte
 - Distribuzioni di energia delle particelle prodotte
 - Distribuzioni angolari delle particelle prodotte
 - Interazioni di particelle
 - Sezioni d'urto
 - Distribuzioni di energia delle particelle prodotte
 - Distribuzioni angolari delle particelle prodotte
- · La descrizione teorica di queste osservabili è simile
 - Ampiezza Invariante M
 - Flusso (sezione d'urto)
 - Spazio delle Fasi $d\,\Phi_n$

$$d\Phi_n = \prod_{i=1}^n \frac{d^3 \mathbf{p}_i}{(2\pi)^3 2E_i} (2\pi)^4 \delta^4 (p_i - p_1 - \dots - p_n)$$

$$\left| d\Gamma = rac{1}{2m_A} |\mathfrak{M}|^2 \, d\Phi_n
ight|$$

$$\frac{1}{\tau} = \Gamma = \int_{\Phi} \frac{1}{2m_A} |\mathfrak{M}|^2 d\Phi_n$$

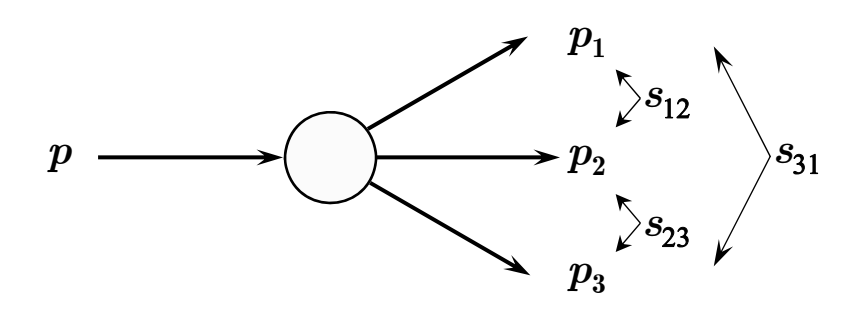
$$d\sigma = \frac{1}{F} |\mathfrak{M}|^2 d\Phi_n$$

Cinematica decadimento $1 \rightarrow 3$

- Da ora in poi c=1
- · Variabili invarianti nel decadimento
- La conservazione del 4-impulso è

$$p = p_1 + p_2 + p_3$$

 Sono convenienti le seguenti variabili invarianti (uguali in tutti i sistemi di riferimento inerziale)



$$s_{12} = (p_1 + p_2)^2 = (p - p_3)^2$$

$$s_{23} = (p_2 + p_3)^2 = (p - p_1)^2$$

$$s_{31} = (p_3 + p_1)^2 = (p - p_2)^2$$

- La variabile s_{ij} è anche detta massa invariante (al quadrato) del sistema composto delle 2 particelle i e j
- Inoltre

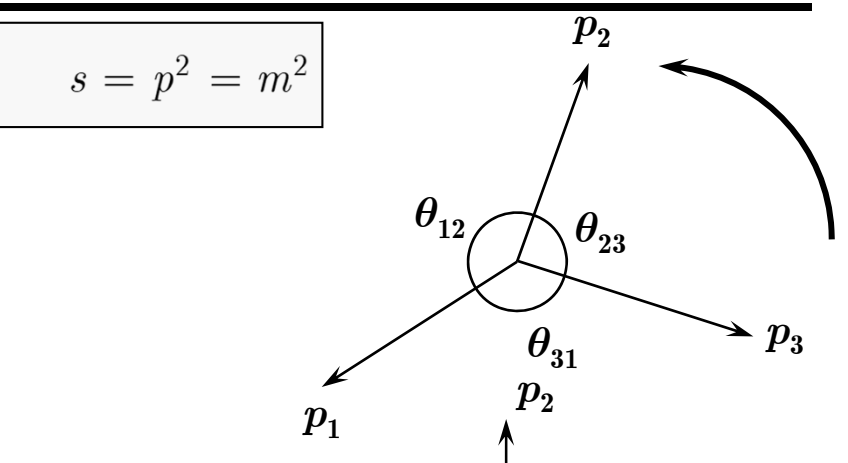
$$s = p^2 = (p_1 + p_2 + p_3)^2 = m^2$$

· Si verifica facilmente che

$$\left| s_{12} + s_{23} + s_{31} \right| = m^2 + m_1^2 + m_2^2 + m_3^2$$

Cinematica decadimento $1 \rightarrow 3$

$$p = (m, \mathbf{0})$$
 p_1
 p_2
 p_3

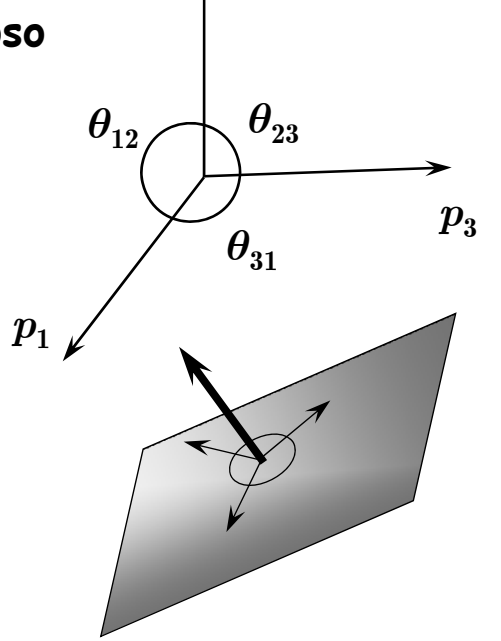


ullet Nel sistema di riferimento in cui la particella p è a riposo

- Nel sistema di riposo la somma dei momenti dei prodotti di decadimento è nulla
- I tre momenti giacciono su un piano
- Variabili indipendenti:
 - 3 impulsi \times 3 componenti = 9
 - 4 equazioni

$$p \,=\, p_1 \,+\, p_2 \,+\, p_3$$

- 1 angolo inessenziale di rotazione nel piano
- 2 angoli inessenziali di orientamento del piano
- Variabili indipendenti: 9-4-1-2=2
- ullet Si possono utilizzare una coppia di s_{ij} qualsiasi



• Un calcolo analogo per il termine adronico

$$\langle 0 | \widehat{a}_{pp} \overline{\psi}_{p} \gamma^{\mu} \psi_{n} \widehat{a}_{pn}^{\dagger} | 0 \rangle$$

$$= \int \frac{d^{3} \mathbf{k}_{p}}{(2\pi)^{3} \sqrt{2E_{kp}}} \frac{d^{3} \mathbf{k}_{n}}{(2\pi)^{3} \sqrt{2E_{kn}}} \langle 0 | \widehat{a}_{pp} \left(\overline{u}_{kp} \widehat{a}_{kp}^{\dagger} e^{+ik_{p} \cdot x} + \overline{v}_{kp} \widehat{b}_{kp} e^{-ik_{p} \cdot x} \right) \gamma^{\mu} \left(u_{kn} \widehat{a}_{kn} e^{-ik_{n} \cdot x} + v_{kn} \widehat{b}_{kn}^{\dagger} e^{ik_{n} \cdot x} \right) \widehat{a}_{pn}^{\dagger} | 0 \rangle$$

- Questa volta possiamo individuare subito i termini che annullano il vuoto
 - L'operatore di distruzione del protone commuta con tutti gli operatori alla sua destra $\widehat{b}_{\!k\!p}\,|0\rangle=0$
 - L'operatore di creazione dell'antineutrone commuta con tutti gli operatori alla sua sinistra $\langle 0\,|\, \hat{b}_{kn}^\dagger = 0$
- · Ci riduciamo a

$$\int \frac{d^3 \mathbf{k}_p}{(2\pi)^3 \sqrt{2E_{kp}}} \frac{d^3 \mathbf{k}_n}{(2\pi)^3 \sqrt{2E_{kn}}} \langle 0 | \widehat{a}_{pp} \widehat{a}_{kp}^{\dagger} \widehat{a}_{kn} \widehat{a}_{pn}^{\dagger} | 0 \rangle \overline{u}_{kp} \gamma^{\mu} u_{kn} e^{i(k_p - k_n) \cdot x}$$

· L'elemento di matrice si calcola facilmente

$$\langle 0 | \widehat{a}_{pp} \widehat{a}_{kp}^{\dagger} \widehat{a}_{kn} \widehat{a}_{pn}^{\dagger} | 0 \rangle = \sqrt{2E_{p_p}} \sqrt{2E_{p_n}} (2\pi)^3 \delta^3 (\mathbf{k}_n - \mathbf{p}_n) (2\pi)^3 \delta (\mathbf{k}_p - \mathbf{p}_p)$$

• Introducendo nell'integrale otteniamo

$$\left| \langle 0 | \widehat{a}_{pp} \overline{\psi}_p \gamma^{\mu} \psi_n \widehat{a}_{pn}^{\dagger} | 0 \rangle = \overline{u}_{p_p} \gamma^{\mu} u_{p_n} e^{i(p_p - p_n) \cdot x} \right|$$

Cinematica decadimento $1 \rightarrow 3$

• Si possono definire energie e momenti delle 3 particelle nello stato finale (nel sistema di riposo della particella p) in funzione di variabili invarianti

$$s_{23} = (p - p_1)^2 = m^2 + m_1^2 - 2mE_1$$

$$E_1 = \frac{m^2 + m_1^2 - s_{23}}{2\sqrt{s}}$$

- È la stessa formula di una particella di massa $m=\sqrt{s}$ che decade in una particella di massa m_1 e una di massa $m_{23}=\sqrt{s_{23}}$
- Il momento della particella $\left|\mathbf{p}_1\right|^2=E_1^2-m_1^2$ $\left\|\mathbf{p}_1\right\|=\frac{\lambda^{1/2}\left(m^2,m_1^2,s_{23}\right)}{2\sqrt{s}}$

• La funzione
$$\lambda$$
 è $\lambda(x,y,z) = (x-y-z)^2 - 4yz$

• Analogamente si trovano le relazioni per le altre particelle:

$$E_1 = \frac{m^2 + m_1^2 - s_{23}}{2\sqrt{s}}$$

$$E_2 = \frac{m^2 + m_2^2 - s_{31}}{2\sqrt{s}}$$

$$E_3 = \frac{m^2 + m_3^2 - s_{12}}{2\sqrt{s}}$$

$$\begin{split} \left| \mathbf{p}_{1} \right| &= \frac{\lambda^{1/2} \left(m^{2}, m_{1}^{2}, s_{23} \right)}{2 \sqrt{s}} \\ \left| \mathbf{p}_{2} \right| &= \frac{\lambda^{1/2} \left(m^{2}, m_{2}^{2}, s_{31} \right)}{2 \sqrt{s}} \\ \left| \mathbf{p}_{3} \right| &= \frac{\lambda^{1/2} \left(m^{2}, m_{3}^{2}, s_{12} \right)}{2 \sqrt{s}} \end{split}$$

Cinematica decadimento $1 \rightarrow 3$

Per il calcolo degli angoli si può procedere in modo analogo

$$\begin{split} s_{23} &= \left(p_2 + p_3\right)^2 \\ s_{23} &= m_2^2 + m_3^2 + 2E_2E_3 - 2\left|\mathbf{p}_2\right|\left|\mathbf{p}_3\right|\cos\theta_{23} \\ \cos\theta_{23} &= \frac{-s_{23} + m_2^2 + m_3^2 + 2E_2E_3}{2\left|\mathbf{p}_2\right|\left|\mathbf{p}_3\right|} \\ \cos\theta_{23} &= \frac{-s_{23} + m_2^2 + m_3^2 + 2E_2E_3}{2\left|\mathbf{p}_2\right|\left|\mathbf{p}_3\right|} \end{split}$$

$$\cos \theta_{23} = \frac{-s_{23} + m_2^2 + m_3^2 + 2E_2E_3}{\frac{\lambda^{1/2} \left(m^2, m_2^2, s_{31}\right) \lambda^{1/2} \left(m^2, m_3^2, s_{12}\right)}{2m^2}}$$

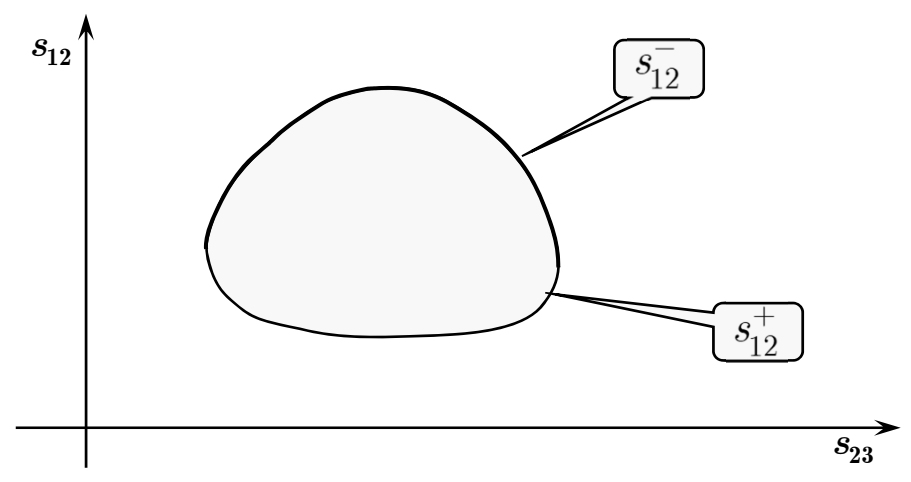
$$\cos\theta_{23} = \frac{2m^2\left(m_2^2 + m_3^2 - s_{23}\right) + 4m^2E_2E_3}{\lambda^{1/2}\left(m^2, m_2^2, s_{31}\right)\lambda^{1/2}\left(m^2, m_3^2, s_{12}\right)} \quad \begin{array}{|l|l|l|} & s_{ij}, & \text{tutte le altre grandezze cinematiche sono determinate} \\ & \text{sono determinate} \end{array}$$

pertanto, una volta fissate due variabili

$$\cos\theta_{23} = \frac{2m^2\left(m_2^2 + m_3^2 - s_{23}\right) + \left(m^2 + m_2^2 - s_{31}\right)\!\left(m^2 + m_3^2 - s_{12}\right)}{\lambda^{1/2}\left(m^2, m_2^2, s_{31}\right)\lambda^{1/2}\left(m^2, m_3^2, s_{12}\right)}$$

Regione fisica del decadimento

• Una volta scelte due variabili s_{ij} per descrivere lo stato finale occorre definire la regione fisica che le due variabili possono assumere †



- Scegliamo, ad esempio s_{12} e s_{23} come variabili indipendenti
- L'equazione che definisce la frontiera sul piano s_{12} s_{23} è definita da

$$s_{12}^{\pm} \, = \, m_{1}^{2} \, + \, m_{2}^{2} \, - \, \frac{1}{2s_{23}} \Big[\Big(\, s_{23} \, - \, m^{2} \, + \, m_{1}^{2} \, \Big) \Big(\, s_{23} \, + \, m_{2}^{2} \, - \, m_{3}^{2} \, \Big) \mp \, \lambda^{1/2} \, \Big(\, s_{23}, m^{2}, \underline{m_{1}^{2}} \, \Big) \lambda^{1/2} \, \Big(\, s_{23}, m_{2}^{2}, \underline{m_{2}^{2}}, \underline{m_{3}^{2}} \, \Big) \Big] \, + \, \lambda^{1/2} \, \Big(\, s_{23}, m_{2}^{2}, \underline{m_{2}^{2}}, \underline{m_{3}^{2}} \, \Big) \Big] \, + \, \lambda^{1/2} \, \Big(\, s_{23}, m_{2}^{2}, \underline{m_{2}^{2}}, \underline{m_{3}^{2}} \, \Big) \Big] \, + \, \lambda^{1/2} \, \Big(\, s_{23}, m_{2}^{2}, \underline{m_{2}^{2}}, \underline{m_{3}^{2}}, \underline{m_{$$

ullet La regione di variabilità di s_{23} si <u>può trovare</u> imponendo la realtà delle radici

$$\lambda\left(s_{23},m^2,m_1^2\right)\geq 0 \qquad \lambda\left(s_{23},m_2^2,m_3^2\right)\geq 0$$

[†]E. Byckling, K. Kajantie - Particle Kinematics - Wiley

Regione fisica s_{23}

$$\lambda\left(s_{23}, m^2, m_1^2\right) \ge 0$$

$$(s_{23} - m^2 - m_1^2)^2 - 4m^2 m_1^2 \ge 0$$

$$\begin{cases} s_{23} - m^2 - m_1^2 \le -2m \cdot m_1 \\ m^2 + m_1^2 - s_{23} \ge 2m \cdot m_1 \end{cases}$$

$$\begin{cases} s_{23} \le (m - m_1)^2 \\ (m - m_1)^2 \ge s_{23} \end{cases}$$

$\lambda\left(s_{23},m_2^2,m_3^2\right)\geq 0$

$$\left(s_{23}-m_2^2-m_3^2\right)^2-4m_2^2\cdot m_3^2\geq 0$$

$$\begin{cases} s_{23} - m_2^2 - m_3^2 \ge 2m_2 \cdot m_3 \\ m_2^2 + m_3^2 - s_{23} \le -2m_2 \cdot m_3 \end{cases}$$

$$\begin{cases} s_{23} \ge \left(m_2 + m_3\right)^2 \\ \left(m_2 + m_3\right)^2 \le s_{23} \end{cases}$$

Due condizioni uguali

- · Combinando le due condizioni in una sola
 - Analogamente

Due condizioni uguali

$$\left| \left(\, m_2^{} \, + \, m_3^{} \, \right)^2 \, \le s_{23}^{} \, \le \left(\, m \, - \, m_1^{} \, \right)^2 \, \right|$$

$$\left| \left(m_1 + m_2 \right)^2 \le s_{12} \le \left(m - m_3 \right)^2 \right|$$

$$\left| \left(m_3 + m_1 \right)^2 \le s_{31} \le \left(m - m_2 \right)^2 \right|$$

Regione fisica s_{23}

- Un metodo alternativo per determinare la regione fisica fa uso dell'invarianza relativistica delle variabili s_{ij}
 - Limite superiore di $s_{23}=(p-p_1)^2=(p_2+p_3)^2$
 - Sistema di riposo della particella che decade p=(m,0)

$$s_{23} = (p - p_1)^2 = m^2 + m_1^2 - 2mE_1$$

• Naturalmente il massimo di s_{23} si ha quando E_1 è minimo cioè $E_1=m_1$

$$s_{23} \ge m^2 + m_1^2 - 2mm_1 = (m - m_1)^2$$

- Limite inferiore di $s_{23}=(p-p_1)^2=(p_2+p_3)^2$
 - Sistema del centro di massa delle particelle 2 e 3
 - In questo sistema ${f p}_2=-{f p}_3={f q}\,$ e inoltre $p_2+\,p_3=(E_2{+}E_3,\,0)$

$$s_{23} = (p_2 + p_3)^2 = (E_2 + E_3)^2 - 0 = (\sqrt{m_2^2 + \mathbf{q}^2} + \sqrt{m_3^2 + \mathbf{q}^2})^2$$

• Naturalmente il minimo di s_{23} si ha quando ${
m q}=0$ e pertanto

$$s_{23} \ge (m_2 + m_3)^2$$

· Calcoli analoghi per la altre variabili

Cinematica decadimento β del neutrone

- Facendo riferimento alla figura
 - Le energie sono date da

$$E_{p} = \frac{m_{n}^{2} + m_{p}^{2} - s_{e\nu}}{2m_{n}} \ E_{e} = \frac{m_{n}^{2} + m_{e}^{2} - s_{\nu p}}{2m_{n}} \ E_{\nu} = \frac{m_{n}^{2} - s_{pe}}{2m_{n}} \ \frac{e^{-} \mathbf{k} \ \mathbf{2}}{\bar{\nu} \mathbf{k}' \ \mathbf{3}} s_{e\nu}$$

- Abbiamo appena visto che $\left(m_2+m_3^{}\right)^2\leq s_{23}^{}\leq \left(m_2^{}-m_1^{}\right)^2$ $m_e^2\leq s_{e
 u}^{}\leq \left(m_n^{}-m_p^{}\right)^2$
- Dalla equazione per $oldsymbol{E}_p$ possiamo ricavare

$$s_{e
u} \, = \, m_n^2 \, + \, m_p^2 \, - \, 2 m_n E_p \qquad m_n^2 \, + \, m_p^2 \, - \, 2 m_n E_p \, \geq \, m_e^2 \qquad rac{m_n^2 \, + \, m_p^2 \, - \, m_e^2}{2 m_n} \geq E_p$$

L'energia cinetica del protone è

$$T_p = E_p - m_p \qquad rac{m_n^2 + m_p^2 - m_e^2}{2m_n} - m_p \geq T_p \qquad \left| rac{\left(m_n - m_p
ight)^2 - m_e^2}{2m_n} \geq T_p
ight|$$

$$\left| \frac{\left(m_n - m_p \right)^2 - m_e^2}{2m_n} \ge T_p \right|$$

Analogamente si ottiene

$$E_e \le \frac{m_n^2 - m_p^2 + m_e^2}{2m_n}$$

Cinematica decadimento eta del neutrone

- Utilizzando i valori noti delle masse
 - $m_e = 0.511 \text{ MeV}$
 - $m_n = 939.560 \text{ MeV}$
 - $m_p = 938.270 \text{ MeV}$
 - Si ottiene in definitiva $E_e \leq 1.29~{
 m MeV}$
 - Vediamo che, almeno vicino al limite della regione permessa, l'elettrone può raggiungere velocità relativistiche.
- · Analogamente, il limite superiore alla energia cinetica del protone

$$T_p \le \frac{\left(m_n - m_p\right)^2 - m_c^2}{2m_n} = 0.75 \,\text{KeV}$$

Calcoliamo il limite superiore alla velocità del protone

$$\beta_p = \sqrt{\frac{2T_p}{m_p}} \le \sqrt{\frac{\left(m_n - m_p\right)^2 - m_e^2}{m_p m_n}} \approx \frac{\Delta m}{m_p} \approx \frac{1.29}{938} \approx 1.4 \cdot 10^{-3}$$

• Il protone è sempre non relativistico

Cinematica decadimento β del neutrone

- Riassumendo
 - Nel sistema di laboratorio l'elettrone può raggiungere velocità relativistiche
 - Il neutrino, che assumiamo avere massa nulla, ha sempre velocità relativistiche ($\beta_{\nu}=1$)
 - Il neutrone è a riposo
 - Il protone ha velocità non relativistiche
- Per i leptoni è pertanto indispensabile utilizzare una teoria relativistica
 - Utilizzeremo gli spinori quadridimensionali
- Per il protone e per il neutrone è sufficiente un'approssimazione non relativistica
 - Utilizzeremo gli spinori bidimensionali di Pauli
- Per un nucleo valgono gli stessi argomenti